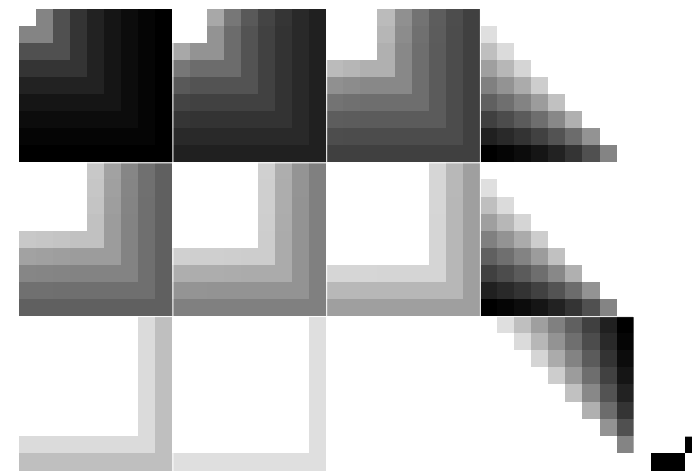


⋮

⋮



• •

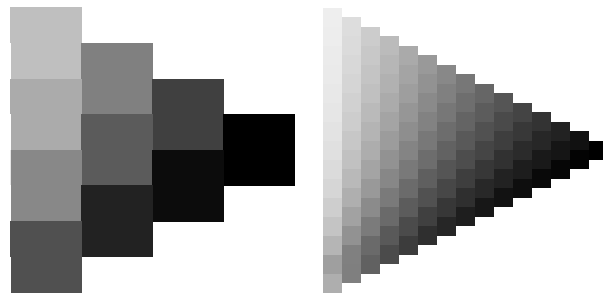
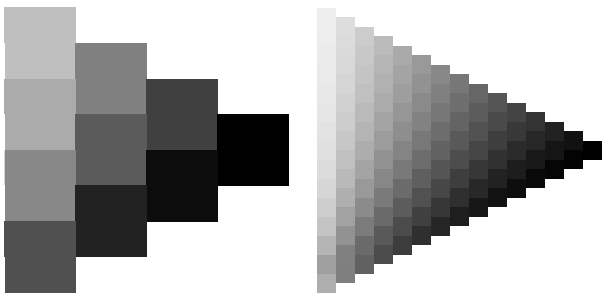
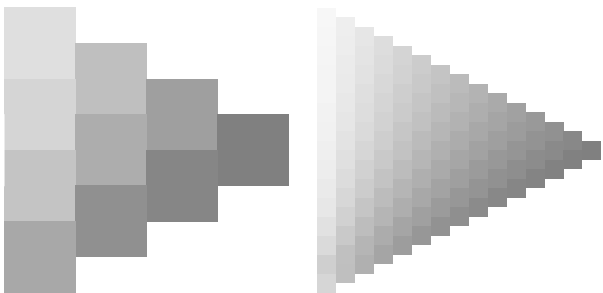
• •

• •

• •

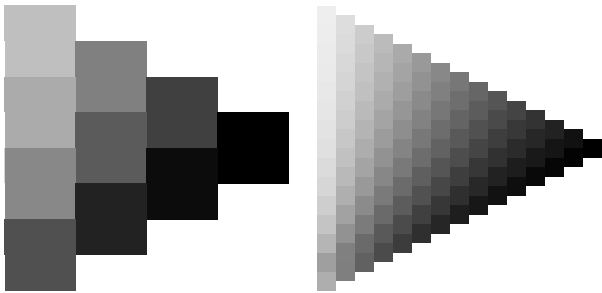
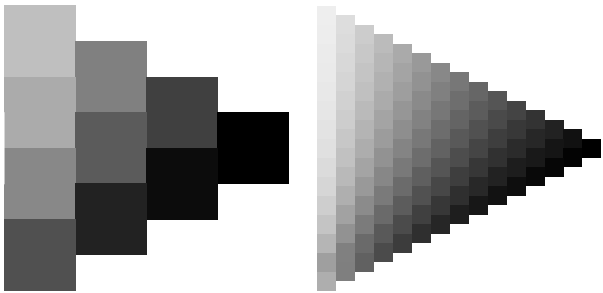
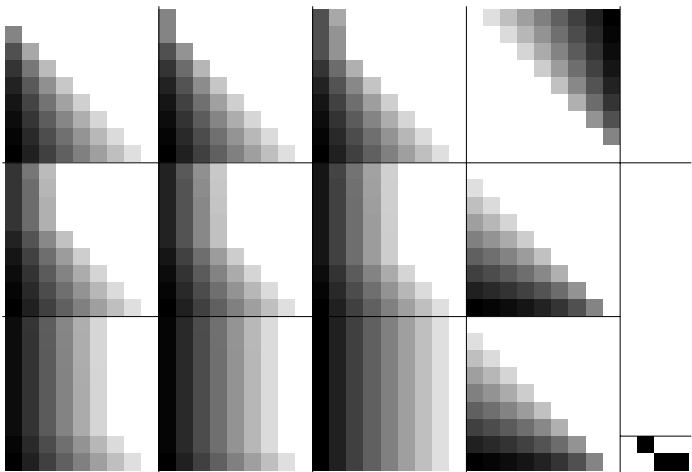
• •

• •

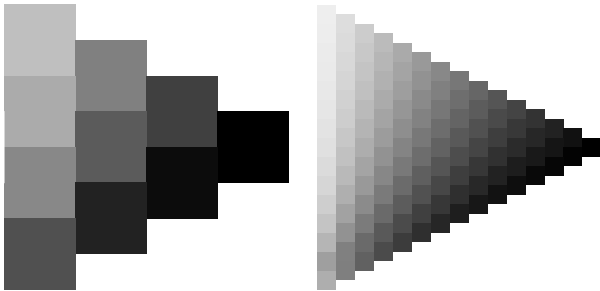


• •

• •

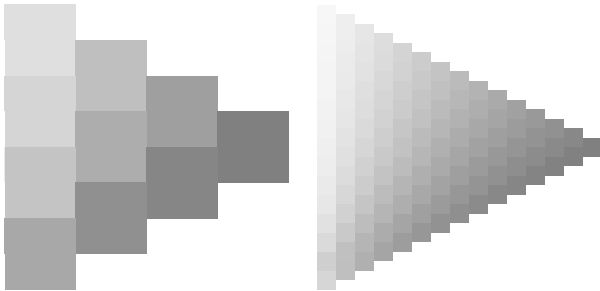


$\mathbf{R}^2$



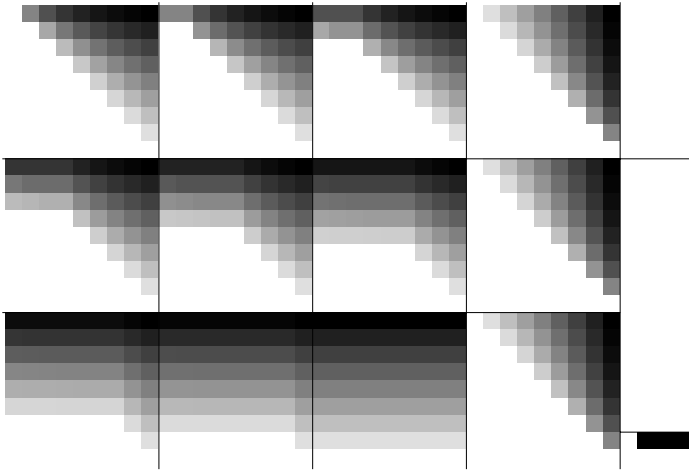
$\mathbf{R}^2$

$\mathbf{R}^2$



$\mathbf{R}^2$

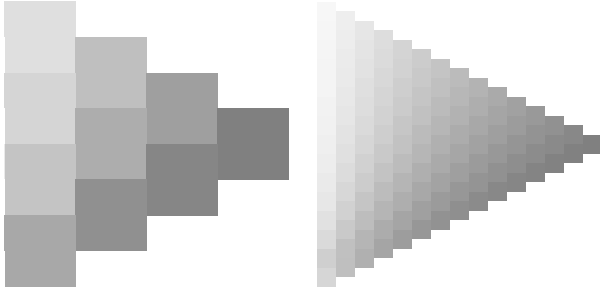
$\mathbf{R}^2$



$\mathbf{R}^2$

$\mathbf{R}^2$

$\mathbf{R}^2$



$\mathbf{R}^2$

Ein und Ausgabe: Farbmetrisches Drucker-Reflexiv-System ORS19\_96, L\*=19\_96 für relativen CIELAB-Buntton  $h^* = lab^*h^* = h_{360}/360 = 0.451$   $u^*_a = 0.0c$

Daten für jede Farbe:  
 $lab^*ich^*$  und  $lab^*icu^*$   
 Bunttonstexte:  
 $u^*_d = 100c$   $u^*_e = g60b$   
 Kontrastreduzierungsfaktor:  
 $c_R = 1.0$   
 Dreiecks-Helligkeit  $i^*$

ORS19\_96a; adaptierte CIELAB-Daten  
 $L^*$   $a^*$   $b^*$   $C_{10}^*$   $C_{90}^*$   $h^*_m$   $h^*_s$   $u^*_a$   $u^*_e$   
 O<sub>10</sub>: 48.75 65.07 39.43 76.08 31 109  
 Y<sub>10</sub>: 90.92 -10.29 87.24 87.85 97  
 L<sub>10</sub>: 52.69 -65.44 20.75 68.65 162  
 C<sub>10</sub>: 59.61 -28.98 -46.22 54.56 238  
 M<sub>10</sub>: 28.39 23.63 -44.13 50.06 298  
 M<sub>10</sub>: 49.58 73.93 -9.56 74.55 353  
 W<sub>10</sub>: 18.89 0.0 0.0 0.0 0  
 R<sub>10</sub>: 39.92 58.74 27.99 65.07 25  
 G<sub>10</sub>: 81.26 -2.89 71.56 71.62 92  
 G<sub>10</sub>: 52.23 -42.42 13.6 44.55 162  
 B<sub>10</sub>: 30.57 1.41 -46.47 46.49 272

Daten für Maximalfarbe (Ma):  
 LAB\*/LAB\*/Ma: 53 65 21  
 LAB\*/LCH\*/Ma: 53 65 162  
 Lab\*/ab\*/Ma: 0.0 1.0 0.0  
 Lab\*/rgb\*/Ma: 0.0 1.0 0.0  
 Dreiecks-Helligkeit  $i^*$   
 %Umfang  $u^*_e = 89$   
 %Regularität  $R^*_reg = 72$   
 $R^*_cont = 57$

Ein und Ausgabe: Farbmetrisches Drucker-Reflexiv-System ORS19\_96, L\*=19\_96 für relativen CIELAB-Buntton  $h^* = lab^*h^* = h_{360}/360 = 0.556$   $u^*_a = 0.50c$

Daten für jede Farbe:  
 $lab^*ich^*$  und  $lab^*icu^*$   
 Bunttonstexte:  
 $u^*_d = 150c$   $u^*_e = g34b$   
 Kontrastreduzierungsfaktor:  
 $c_R = 1.0$   
 Dreiecks-Helligkeit  $i^*$

ORS19\_96a; adaptierte CIELAB-Daten  
 $L^*$   $a^*$   $b^*$   $C_{10}^*$   $C_{90}^*$   $h^*_m$   $h^*_s$   $u^*_a$   $u^*_e$   
 O<sub>10</sub>: 48.75 65.07 39.43 76.08 31 109  
 Y<sub>10</sub>: 90.92 -10.29 87.24 87.85 97  
 L<sub>10</sub>: 52.69 -65.44 20.75 68.65 162  
 C<sub>10</sub>: 59.61 -28.98 -46.22 54.56 238  
 M<sub>10</sub>: 28.39 23.63 -44.13 50.06 298  
 M<sub>10</sub>: 49.58 73.93 -9.56 74.55 353  
 W<sub>10</sub>: 18.89 0.0 0.0 0.0 0  
 R<sub>10</sub>: 39.92 58.74 27.99 65.07 25  
 G<sub>10</sub>: 81.26 -2.89 71.56 71.62 92  
 G<sub>10</sub>: 52.23 -42.42 13.6 44.55 162  
 B<sub>10</sub>: 30.57 1.41 -46.47 46.49 272

Daten für Maximalfarbe (Ma):  
 LAB\*/LAB\*/Ma: 57 45 17  
 LAB\*/LCH\*/Ma: 57 45 200  
 Lab\*/ab\*/Ma: 0.0 1.0 0.5  
 Lab\*/rgb\*/Ma: 0.0 1.0 0.69  
 Dreiecks-Helligkeit  $i^*$   
 %Umfang  $u^*_e = 89$   
 %Regularität  $R^*_reg = 72$   
 $R^*_cont = 57$

Ein und Ausgabe: Farbmetrisches Drucker-Reflexiv-System ORS19\_96, L\*=19\_96 für relativen CIELAB-Buntton  $h^* = lab^*h^* = h_{360}/360 = 0.661$   $u^*_a = c00b$

Daten für jede Farbe:  
 $lab^*ich^*$  und  $lab^*icu^*$   
 Bunttonstexte:  
 $u^*_d = c00b$   $u^*_e = g60b$   
 Kontrastreduzierungsfaktor:  
 $c_R = 1.0$   
 Dreiecks-Helligkeit  $i^*$

ORS19\_96a; adaptierte CIELAB-Daten  
 $L^*$   $a^*$   $b^*$   $C_{10}^*$   $C_{90}^*$   $h^*_m$   $h^*_s$   $u^*_a$   $u^*_e$   
 O<sub>10</sub>: 48.75 65.07 39.43 76.08 31 109  
 Y<sub>10</sub>: 90.92 -10.29 87.24 87.85 97  
 L<sub>10</sub>: 52.69 -65.44 20.75 68.65 162  
 C<sub>10</sub>: 59.61 -28.98 -46.22 54.56 238  
 M<sub>10</sub>: 28.39 23.63 -44.13 50.06 298  
 M<sub>10</sub>: 49.58 73.93 -9.56 74.55 353  
 W<sub>10</sub>: 18.89 0.0 0.0 0.0 0  
 R<sub>10</sub>: 39.92 58.74 27.99 65.07 25  
 G<sub>10</sub>: 81.26 -2.89 71.56 71.62 92  
 G<sub>10</sub>: 52.23 -42.42 13.6 44.55 162  
 B<sub>10</sub>: 30.57 1.41 -46.47 46.49 272

Daten für Maximalfarbe (Ma):  
 LAB\*/LAB\*/Ma: 60 29 46  
 LAB\*/LCH\*/Ma: 60 29 237  
 Lab\*/ab\*/Ma: 0.0 1.0 1.0  
 Lab\*/rgb\*/Ma: 0.0 0.62 1.0  
 Dreiecks-Helligkeit  $i^*$   
 %Umfang  $u^*_e = 89$   
 %Regularität  $R^*_reg = 72$   
 $R^*_cont = 57$

Ein und Ausgabe: Farbmetrisches Drucker-Reflexiv-System ORS19\_96, L\*=19\_96 für relativen CIELAB-Buntton  $h^* = lab^*h^* = h_{360}/360 = 0.745$   $u^*_a = c50b$

Daten für jede Farbe:  
 $lab^*ich^*$  und  $lab^*icu^*$   
 Bunttonstexte:  
 $u^*_d = c50b$   $u^*_e = g60b$   
 Kontrastreduzierungsfaktor:  
 $c_R = 1.0$   
 Dreiecks-Helligkeit  $i^*$

ORS19\_96a; adaptierte CIELAB-Daten  
 $L^*$   $a^*$   $b^*$   $C_{10}^*$   $C_{90}^*$   $h^*_m$   $h^*_s$   $u^*_a$   $u^*_e$   
 O<sub>10</sub>: 48.75 65.07 39.43 76.08 31 109  
 Y<sub>10</sub>: 90.92 -10.29 87.24 87.85 97  
 L<sub>10</sub>: 52.69 -65.44 20.75 68.65 162  
 C<sub>10</sub>: 59.61 -28.98 -46.22 54.56 238  
 M<sub>10</sub>: 28.39 23.63 -44.13 50.06 298  
 M<sub>10</sub>: 49.58 73.93 -9.56 74.55 353  
 W<sub>10</sub>: 18.89 0.0 0.0 0.0 0  
 R<sub>10</sub>: 39.92 58.74 27.99 65.07 25  
 G<sub>10</sub>: 81.26 -2.89 71.56 71.62 92  
 G<sub>10</sub>: 52.23 -42.42 13.6 44.55 162  
 B<sub>10</sub>: 30.57 1.41 -46.47 46.49 272

Daten für Maximalfarbe (Ma):  
 LAB\*/LAB\*/Ma: 43 2 45  
 LAB\*/LCH\*/Ma: 43 45 268  
 Lab\*/ab\*/Ma: 0.0 0.5 1.0  
 Lab\*/rgb\*/Ma: 0.0 0.07 1.0  
 Dreiecks-Helligkeit  $i^*$   
 %Umfang  $u^*_e = 89$   
 %Regularität  $R^*_reg = 72$   
 $R^*_cont = 57$

Ein und Ausgabe: Farbmetrisches Drucker-Reflexiv-System ORS19\_96, L\*=19\_96 für relativen CIELAB-Buntton  $h^* = lab^*h^* = h_{360}/360 = 0.828$   $u^*_a = c100a$

Daten für jede Farbe:  
 $lab^*ich^*$  und  $lab^*icu^*$   
 Bunttonstexte:  
 $u^*_d = v100$   $u^*_e = b77r$   
 Kontrastreduzierungsfaktor:  
 $c_R = 1.0$   
 Dreiecks-Helligkeit  $i^*$

ORS19\_96a; adaptierte CIELAB-Daten  
 $L^*$   $a^*$   $b^*$   $C_{10}^*$   $C_{90}^*$   $h^*_m$   $h^*_s$   $u^*_a$   $u^*_e$   
 O<sub>10</sub>: 48.75 65.07 39.43 76.08 31 109  
 Y<sub>10</sub>: 90.92 -10.29 87.24 87.85 97  
 L<sub>10</sub>: 52.69 -65.44 20.75 68.65 162  
 C<sub>10</sub>: 59.61 -28.98 -46.22 54.56 238  
 M<sub>10</sub>: 28.39 23.63 -44.13 50.06 298  
 M<sub>10</sub>: 49.58 73.93 -9.56 74.55 353  
 W<sub>10</sub>: 18.89 0.0 0.0 0.0 0  
 R<sub>10</sub>: 39.92 58.74 27.99 65.07 25  
 G<sub>10</sub>: 81.26 -2.89 71.56 71.62 92  
 G<sub>10</sub>: 52.23 -42.42 13.6 44.55 162  
 B<sub>10</sub>: 30.57 1.41 -46.47 46.49 272

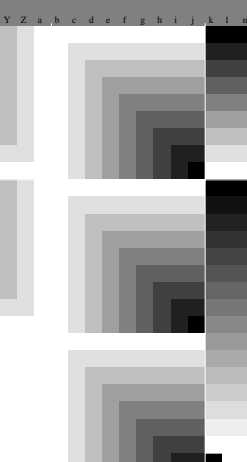
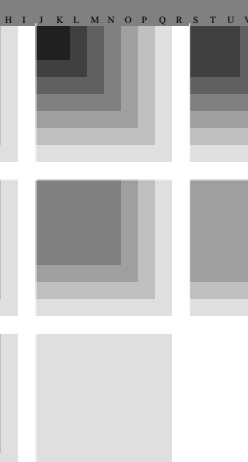
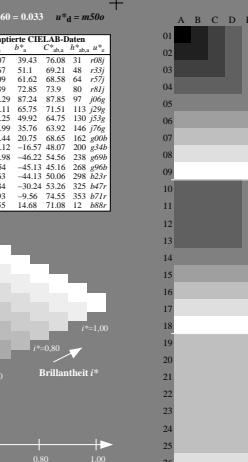
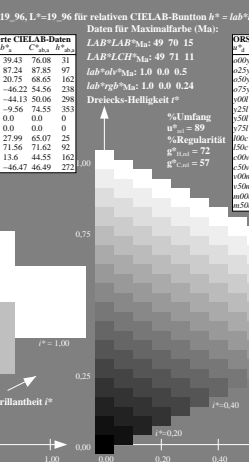
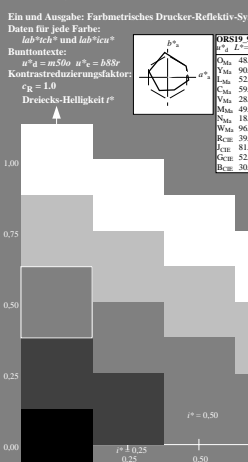
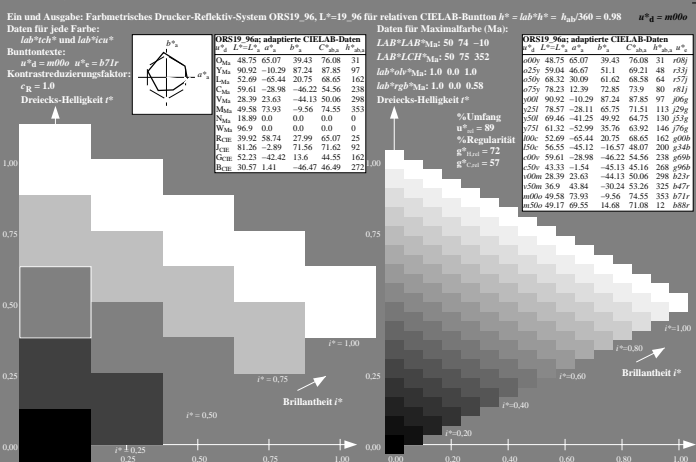
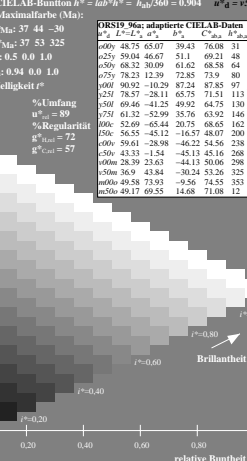
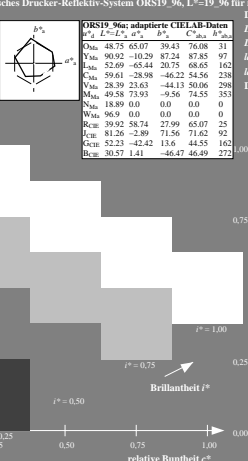
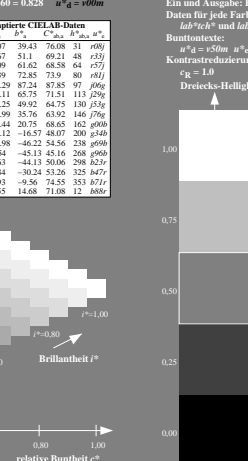
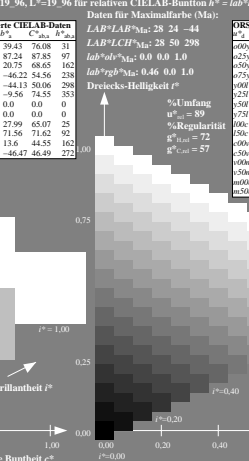
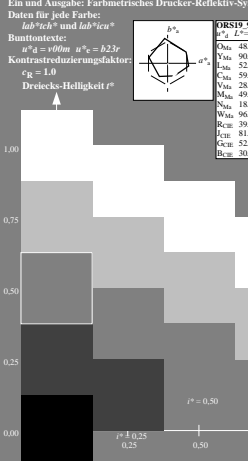
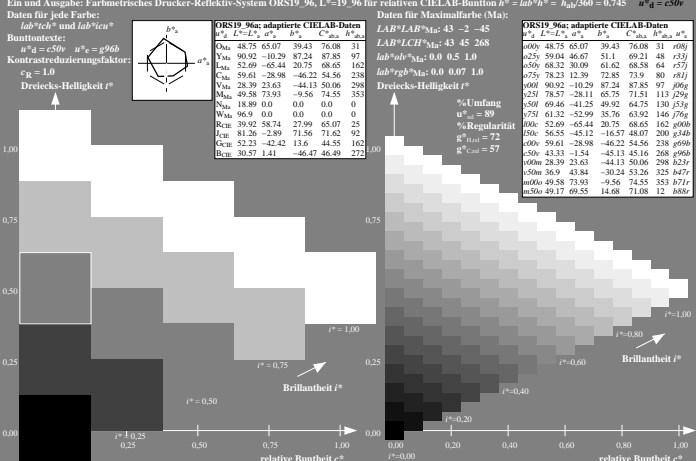
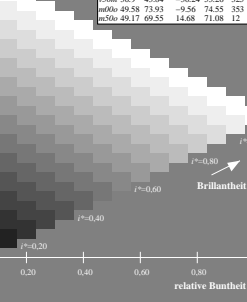
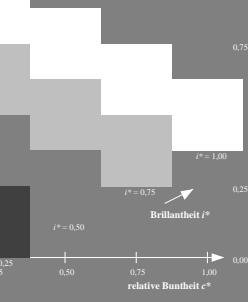
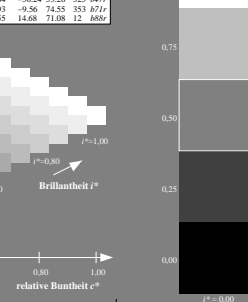
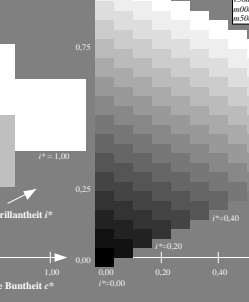
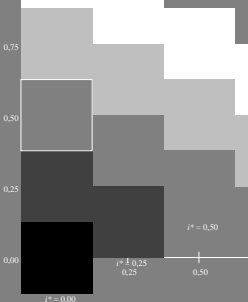
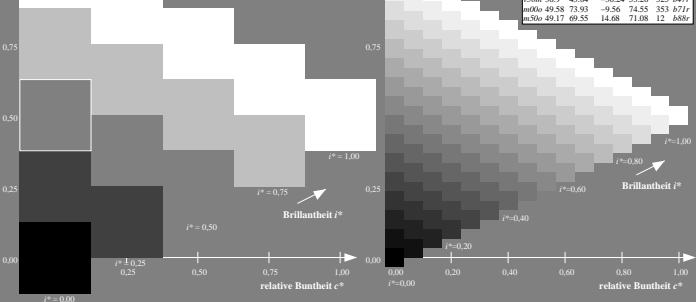
Daten für Maximalfarbe (Ma):  
 LAB\*/LAB\*/Ma: 28 24 44  
 LAB\*/LCH\*/Ma: 28 50 298  
 Lab\*/ab\*/Ma: 0.0 1.0 1.0  
 Lab\*/rgb\*/Ma: 0.46 0.0 1.0  
 Dreiecks-Helligkeit  $i^*$   
 %Umfang  $u^*_e = 89$   
 %Regularität  $R^*_reg = 72$   
 $R^*_cont = 57$

Ein und Ausgabe: Farbmetrisches Drucker-Reflexiv-System ORS19\_96, L\*=19\_96 für relativen CIELAB-Buntton  $h^* = lab^*h^* = h_{360}/360 = 0.904$   $u^*_a = c50m$

Daten für jede Farbe:  
 $lab^*ich^*$  und  $lab^*icu^*$   
 Bunttonstexte:  
 $u^*_d = v50m$   $u^*_e = b77r$   
 Kontrastreduzierungsfaktor:  
 $c_R = 1.0$   
 Dreiecks-Helligkeit  $i^*$

ORS19\_96a; adaptierte CIELAB-Daten  
 $L^*$   $a^*$   $b^*$   $C_{10}^*$   $C_{90}^*$   $h^*_m$   $h^*_s$   $u^*_a$   $u^*_e$   
 O<sub>10</sub>: 48.75 65.07 39.43 76.08 31 109  
 Y<sub>10</sub>: 90.92 -10.29 87.24 87.85 97  
 L<sub>10</sub>: 52.69 -65.44 20.75 68.65 162  
 C<sub>10</sub>: 59.61 -28.98 -46.22 54.56 238  
 M<sub>10</sub>: 28.39 23.63 -44.13 50.06 298  
 M<sub>10</sub>: 49.58 73.93 -9.56 74.55 353  
 W<sub>10</sub>: 18.89 0.0 0.0 0.0 0  
 R<sub>10</sub>: 39.92 58.74 27.99 65.07 25  
 G<sub>10</sub>: 81.26 -2.89 71.56 71.62 92  
 G<sub>10</sub>: 52.23 -42.42 13.6 44.55 162  
 B<sub>10</sub>: 30.57 1.41 -46.47 46.49 272

Daten für Maximalfarbe (Ma):  
 LAB\*/LAB\*/Ma: 37 44 30  
 LAB\*/LCH\*/Ma: 37 53 325  
 Lab\*/ab\*/Ma: 0.5 0.0 1.0  
 Lab\*/rgb\*/Ma: 0.94 0.0 1.0  
 Dreiecks-Helligkeit  $i^*$   
 %Umfang  $u^*_e = 89$   
 %Regularität  $R^*_reg = 72$   
 $R^*_cont = 57$



A B C D E F G H I J K L M N O P Q R S T U V W X Y Z a b c d e f g h i j k l m n